# **Effet Tunnel**

# Plan de la présentation

#### Prérequis

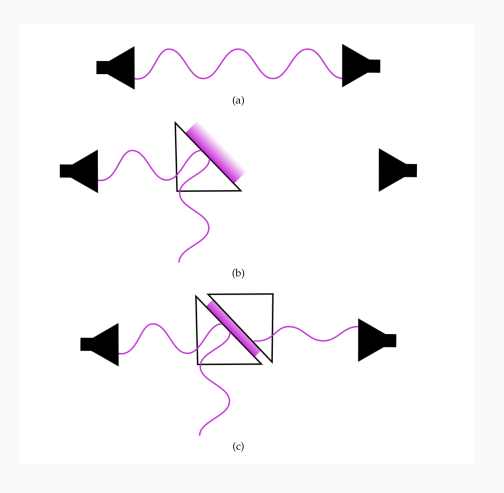
- Équation de Schrödinger stationnaire
- Densité de probabilité, densité de courant de probabilité
- Ondes évanescentes
- Radioactivité
- Confinement d'une particule quantique

#### Sommaire

- Introduction: nature ondulation de l'effet tunnel
- Modélisation effet tunnel
- Applications:
  - Microscope à effet tunnel
  - $\circ$  Radioactivité  $\alpha$

### Nature ondulation de l'effet tunnel

Effet tunnel avec des ondes centimétrique



# Quelques ordres de grandeur

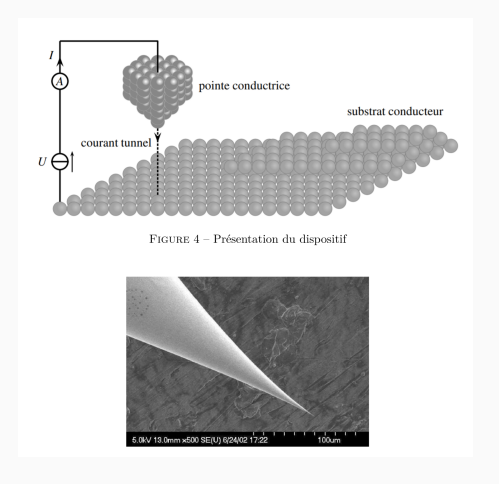
Coefficient de transmission et distance caractéristique de pénétration (inverse module vecteur d'onde):

$$T \propto \exp(-2a/\delta)$$
 avec  $\delta = \frac{\hbar}{\sqrt{2m(V_0 - E)}}$ 

Particule	m (kg)	$V_0$ (eV)	a (nm)	$\delta$ (nm)	T
Électron	$10^{-30}$	4	0,3	0,1	$10^{-2}$
Électron	$10^{-30}$	40	0, 3	$4 \times 10^{-2}$	$10^{-6}$
Électron	$10^{-30}$	4	3	0,1	$10^{-20}$
Proton	$10^{-27}$	4	0, 3	$4 \times 10^{-3}$	$10^{-63}$
Proton	$10^{-27}$	4	3	$2 \times 10^{-3}$	$10^{-628}$

# Microscope à effet tunnel

Binnig et Röhrer durant les années 1980-1985 (prix Nobel en 1986).



#### Modes d'utilisation

Le coefficient de transmission est bien approxime par:

$$T \approx C(U) \frac{16 E W}{(E+W)^2} \exp(-2ka)$$
 avec  $k = \sqrt{\frac{2mW}{\hbar^2}}$ 

Deux modes d'utilisation

- 1. Topographie: On fixe *U* constant, et on maintient I constant en bougeant *a*. On peut ainsi mesurer les variations de hauteur du substrat.
- Spectroscopie: Fixer la position de la pointe et faire varier U afin d'extraire des propriétés physiques du substrat (comme le travail d'extraction W). Cela donne la nature chimique locale du substrat.

Résolution transversale:

Résolution longitudinale (topographique)

Modèle de Tersoff et D.R. Hamann de la jonction tunnel pointe-plan.

• Résolution transversale:

Résolution longitudinale (topographique)

Modèle de Tersoff et D.R. Hamann de la jonction tunnel pointe-plan.

Résolution transversale:

$$\Delta x = \sqrt{\frac{a \ln(2)}{k(W)}}$$
  $a = 0.5 nm$   $\implies \Delta x = 0.2 nm$   $W = 4.3 \, eV \, (zinc)$ 

Ordre de grandeur pour :

Résolution longitudinale (topographique)

Modèle de Tersoff et D.R. Hamann de la jonction tunnel pointe-plan.

Résolution transversale:

$$\Delta x = \sqrt{\frac{a \ln(2)}{k(W)}}$$
  $a = 0.5 nm$   $\implies \Delta x = 0.2 nm$   $W = 4.3 \, eV \, (zinc)$ 

Ordre de grandeur pour :

Résolution longitudinale (topographique)

Appareil apte à distinguer des variations relatives finies (de l'ordre du pour cent).

$$I = CU\frac{k}{a}\exp(-2ka)$$

Modèle de Tersoff et D.R. Hamann de la jonction tunnel pointe-plan.

#### Résolution transversale:

$$\Delta x = \sqrt{\frac{a \ln(2)}{k(W)}}$$
  $a = 0.5 nm$   $\Rightarrow \Delta x = 0.2 nm$   $W = 4.3 \, eV \, (zinc)$ 

Ordre de grandeur pour :

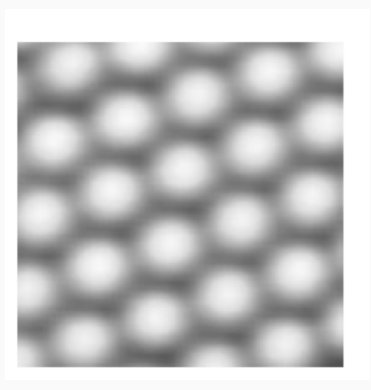
#### Résolution longitudinale (topographique)

Appareil apte à distinguer des variations relatives finies (de l'ordre du pour cent).

$$I = CU\frac{k}{a}\exp(-2ka)$$
  $\Delta I/I = 0.02$   $\Longrightarrow \Delta 1 \approx pm$   $\Delta a \approx 1/2\sqrt{\frac{\hbar^2}{2mW}}\frac{\Delta I}{I}$   $W = 4.3 \text{ eV (zinc)}$ 

## Microscope à effet tunnel

Atomes de silicium à la surface d'un cristal de carbure de silicium (SiC). Image obtenue à l'aide d'un Microscope à effet tunnel.



# Radioactivité $\alpha$ : résultats expérimentaux

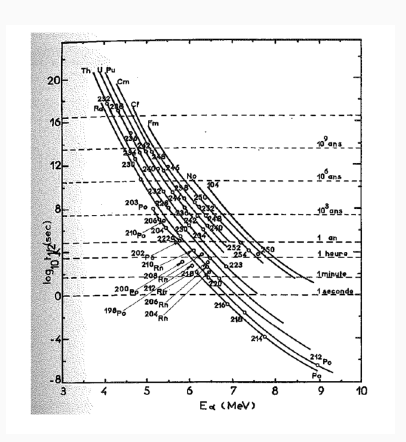
La désintégration alpha peut être vue comme une forme de fission nucléaire:

# Radioactivité $\alpha$ : résultats expérimentaux

La désintégration alpha peut être vue comme une forme de fission nucléaire:

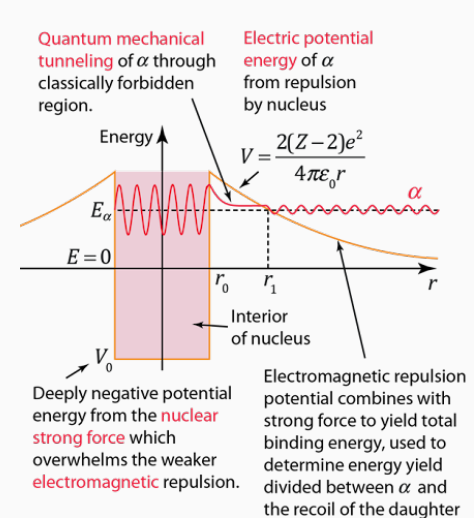
Loi phénoménologique Geiger-Nutall (1911)

$$In( au_{1/2}) = a + rac{b}{\sqrt{F}}$$



#### Radioactivité $\alpha$ : Théorie de Gamow

La particule  $\alpha$  préexiste dans le noyaux mais elle est confinée.



nucleus.

 On décompose la barrière coulombien en petite barrières rectangulaires d'épaisseur dr suffisamment grande (approximation de barrière épaisse).

- On décompose la barrière coulombien en petite barrières rectangulaires d'épaisseur dr suffisamment grande (approximation de barrière épaisse).
- On calcule le coefficient de transmission  $T = \prod_i T_i$  ( $T_i$  de chaque barrière).

$$ln(T) = a' - \frac{b}{\sqrt{E}}$$

- On décompose la barrière coulombien en petite barrières rectangulaires d'épaisseur dr suffisamment grande (approximation de barrière épaisse).
- On calcule le coefficient de transmission  $T = \prod_i T_i$  ( $T_i$  de chaque barrière).

$$ln(T) = a' - \frac{b}{\sqrt{E}}$$

• La particule  $\alpha$  oscille entre les bords du puits à une vitesse  $v = \sqrt{2E/m}$ .

- On décompose la barrière coulombien en petite barrières rectangulaires d'épaisseur dr suffisamment grande (approximation de barrière épaisse).
- On calcule le coefficient de transmission  $T = \prod_i T_i$  ( $T_i$  de chaque barrière).

$$In(T) = a' - \frac{b}{\sqrt{E}}$$

- La particule  $\alpha$  oscille entre les bords du puits à une vitesse  $v = \sqrt{2E/m}$ .
- On calcule la probabilité de franchir la barrière  $P_{tunnel}$  en un intervalle dt:

$$P_{tunnel} \approx Tfdt$$
 avec  $f = v/(2r_0)$  fréquence des chocs

- On décompose la barrière coulombien en petite barrières rectangulaires d'épaisseur dr suffisamment grande (approximation de barrière épaisse).
- On calcule le coefficient de transmission  $T = \prod_i T_i$  ( $T_i$  de chaque barrière).

$$In(T) = a' - \frac{b}{\sqrt{E}}$$

- La particule  $\alpha$  oscille entre les bords du puits à une vitesse  $v = \sqrt{2E/m}$ .
- On calcule la probabilité de franchir la barrière  $P_{tunnel}$  en un intervalle dt:

$$P_{tunnel} \approx T f dt$$
 avec  $f = v/(2r_0)$  fréquence des chocs

• Pour *N* noyaux on obtient une loi de désintégration:

$$\frac{dN}{dt} = -NfT$$

- On décompose la barrière coulombien en petite barrières rectangulaires d'épaisseur dr suffisamment grande (approximation de barrière épaisse).
- On calcule le coefficient de transmission  $T = \prod_i T_i$  ( $T_i$  de chaque barrière).

$$ln(T) = a' - \frac{b}{\sqrt{E}}$$

- La particule  $\alpha$  oscille entre les bords du puits à une vitesse  $v = \sqrt{2E/m}$ .
- On calcule la probabilité de franchir la barrière  $P_{tunnel}$  en un intervalle dt:

$$P_{tunnel} \approx T f dt$$
 avec  $f = v/(2r_0)$  fréquence des chocs

• Pour *N* noyaux on obtient une loi de désintégration:

$$\frac{dN}{dt} = -NfT$$

ullet On peut donc calculer le temps de demi-vie  $au_{1/2}$ 

$$au_{1/2} = \frac{\ln(2)}{fT} \implies \text{ loi phénoménologique Geiger-Nutall}$$

#### Radioactivité $\alpha$ : Prédiction de théorie de Gamow

Courbe comparant la théorie de Gamow (1928) et les résultats expérimentaux.

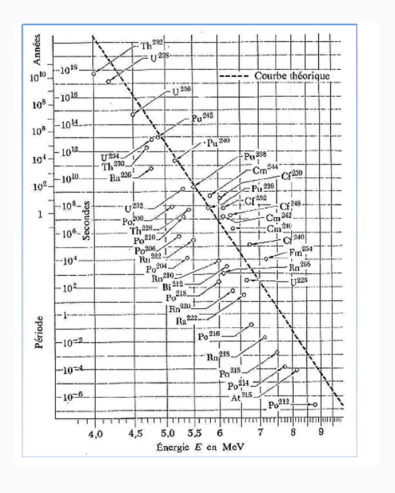


Figure 1: Ordonnée en échelle log, abscisse en échelle racine

### Résumé et conclusions

Analogie effet tunnel et effet peau en optique

#### Résumé et conclusions

- Analogie effet tunnel et effet peau en optique
- Effet tunnel quantique:
   possibilité de "tunneler" 

  description ondulatoire des particules

### Résumé et conclusions

- Analogie effet tunnel et effet peau en optique
- Effet tunnel quantique:
   possibilité de "tunneler" 

  description ondulatoire des particules
- $\, \bullet \,$  Applications: microscope effet tunnel et radioactivité  $\alpha$